

بررسی اثر زاویه حمله و نسبت مخروطی پره بر توان تولیدی در توربین‌های بادی محور افقی سه پره با پره‌های مستوی

کوروش عزت‌الهی^۱، مرتضی الماسی^۲، علی‌محمد برقعی^۳، سعید مینایی^۴

چکیده

از آن‌جا که ایران به دلیل مجاورت با دریا و هم‌چنین وجود فلات‌های البرز و زاگرس، کشوری با دخیز محسوب می‌شود، دور از ذهن نیست که در آینده نزدیک استفاده از فناوری انرژی باد در کشور توسعه چشم‌گیری یابد. در این پژوهش تعیین بهترین زاویه پره و نسبت مخروطی پره یکی از راه‌های مناسب جهت افزایش توان تولیدی مطرح شده است. ابتدا سه مدل توربین‌های بادی سه پره ساخته شد. تمامی پره‌ها دارای ضخامت 20% و حداکثر قوس 6% از طول وتر می‌باشند. این مدل‌ها در مقابل سیستم مکانیزم تولید باد قرار گرفتند. با چرخش پره‌ها، میزان ولتاژ و جریان تولیدی توسط ولت‌متر و آمپر‌متر اندازه‌گیری شد و از حاصل ضرب ولتاژ و شدت جریان، میزان توان تولیدی به دست آمد. تمامی داده‌های برداشت شده از آزمایش، با استفاده از نرم‌افزارهای Excel و Mstat-C، و روش آماری آزمون دانکن مورد بررسی قرار گرفتند. تجزیه و تحلیل داده‌ها روش‌ساخت که اختلاف موجود در بین توان-های به دست آمده از آزمایش در سرعت‌های باد در سه سطح (8، 10 و 12 m/s)، زاویه حمله پره در پنج سطح (5، 10، 15، 20 و 25 درجه) و نسبت مخروطی در سه سطح (50% و 100%) از طول وتر معنی‌دار است. آزمون دانکن، تعیین کرد که در مدل توربین بادی سه پره، از بین پنج سطح زاویه حمله پره، زاویه 15 درجه با میانگین توان 0/8612 وات، از بین سه سطح نسبت مخروطی پره، نسبت 100% با میانگین توان 0/668 وات و از بین سه سطح سرعت باد، سرعت 12 m/s با میانگین توان 1/078 وات بیشترین توان تولیدی را داشته است. هم‌چنین تعیین شد مدلی که نسبت مخروطی آن 100% از طول وتر است در زاویه حمله 15 درجه و سرعت باد 12 m/s نسبت به دو مدل دیگر بیشترین توان تولیدی را داشته است که برابر با 2/304 وات در سطوح یاد شده است.

واژه‌های کلیدی: توربین بادی، زاویه حمله، نسبت مخروطی پره، سرعت باد، توان و پره‌های مستوی

۱. استادیار گروه مکانیک ماشین‌های کشاورزی، دانشگاه آزاد اسلامی واحد کرمان

۲. استاد دانشکده کشاورزی، دانشگاه شهید چمران، اهواز

۳. استاد دانشکده کشاورزی، دانشگاه تهران،

۴. استادیار دانشکده کشاورزی، دانشگاه تربیت مدرس، تهران

مقدمه

پروژه‌ای تحت عنوان بررسی فنی و طراحی

مقدماتی یک نیروگاه بادی برای مناطق مختلف ایران مورد بررسی قرار دادند. در این پژوهه ابتدا لزوم استفاده از انرژی‌های نو بجای انرژی‌های فسیلی و به‌طور کلی انرژی‌های تجدید پذیر بجای انرژی‌های تجدید ناپذیر مورد بحث و بررسی قرار گرفته، و نهایتاً به این مسئله توجه شده است که انرژی باد به‌عنوان یک انرژی تجدید پذیر باستی مورد توجه قرار گیرد تا از این نیروی خدادادی به نحو احسن استفاده شود (برنگی، 1375).

قطع آیروودینامیکی

ایرفول¹ یک قطع خاصی است که در صورت عبور هوا از اطراف آن با تولید اختلاف فشار در بالا و پایین قطع، نیروی را که نیروی آیروودینامیکی نام دارد تولید می‌کند. این قطع به‌طور کلی بشکل دوک است که قسمت ضخیم‌تر آن در جلو قرار می‌گیرد. هنگامی که جريان هوا از بالا و پایین ایرفول عبور می‌کند، در سطح بالای ایرفول غلظت هوا کم بوده و سرعت افزایش یافته و فشار کاهش می‌بابد. در سطح پایین متقابلاً غلظت افزایش یافته، سرعت کاهش یافته و فشار افزایش می‌یابد. بنابراین ایرفول تولید اختلاف فشار می‌نماید. از این فشارها می‌توان انتگرال گرفته و تبدیل به یک نیرو نمود که آن را نیروی آیروودینامیکی می‌نامند. لذا مهمن‌ترین سطوح طراحی بررسی و مورد تشریح قرار می‌گیرد. لبه حمله: اولین نقطه‌ای از قطع عمودی که قبل از هر قسمت دیگر با هوا برخورد می‌کند. شکل لبه حمله بر حسب این که ایرفول برای سرعت‌های زیاد یا متوسط مورد استفاده قرار می‌گیرد، متفاوت است.

لبه فرار: آخرین نقطه‌ای از قطع عمودی ایرفول که با هوا در تماس است یا به عبارتی، نقطه‌ای که هوا ایرفول را ترک می‌کند.

وتر: خط مستقیمی است که لبه حمله را به لبه فرار متصل می‌نماید. اندازه این خط بسیار مهم است و تمام اندازه‌های مهم مقطع عمودی را بر حسب درصدی از طول وتر بیان می‌کنند.

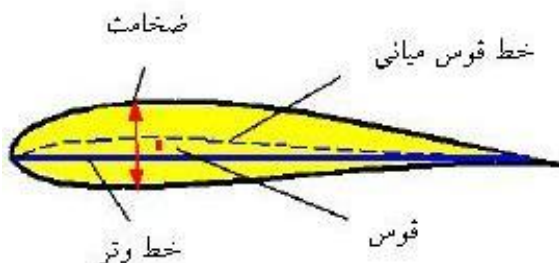
طبق مطالعات اولیه ظرفیت انرژی باد ایران 6500 MW است. چنان‌چه بررسی و مطالعات وسیع‌تری انجام شود، مشخص خواهد شد که ظرفیت بالقوه این انرژی در کشور به مراتب بیش از رقم یاد شده است (ثقفی، 1371). با توجه به این‌که انرژی باد از جمله انرژی‌های تجدید پذیر است و به علت گستردگی و اقتصادی بودن و این‌که در مقایسه با دیگر انرژی‌های تجدید پذیر در ابعاد وسیع‌تری مورد استفاده و بهره‌برداری قرار گرفته است عمل از جایگاه ویژه‌ای برخوردار است که می‌تواند به عنوان ضرورت‌های خاص انجام پژوهش مطرح شود (والکر، 1998).

پژوهه طراحی، ساخت و آزمایش توربین بادی محور افقی سه پره طراحی و ساخته شد. این توربین توانایی تولید برقی با توان 3 kW در بادی با سرعت 8 m/s را دارا بود. با استفاده از چنین توربینی، در منطقه‌ای با وزش باد متوسط، به راحتی می‌توان نیاز یک یا چند خانوار روستایی به انرژی الکتریکی را برآورده ساخت (جعفری، 1377).

پروژه‌ای تحت عنوان بررسی و طراحی توربین بادی بهینه برای پمپاژ آب در مناطق بادخیز ایران اجرا شد. در این پژوهش یک آسیاب بادی محور عمودی سه پره با قطع ایرفول متقاضی با استفاده از مشخصات NACA0012 طراحی شد که پره‌ها توسط 6 بازو (3 بازو در بالا و 3 بازو در پایین پره‌ها) دو به دو تحت زاویه 120 درجه حول محور اصلی قرار می‌گرفتند (شمس آبادی، 1373).

پروژه‌ای تحت عنوان محاسبه، طراحی و تست توربین بادی 10 kW اجرا شد. در این پژوهه پس از تعیین توربین بادی محور افقی به عنوان توربین مطلوب، اقدام به طراحی مفصل و دقیق آیروودینامیکی پره‌های توربین بادی 10 kW شد. در این راستا، در ابتدا آیروودینامیک توربین‌های محور افقی به‌طور مفصل مورد مطالعه قرار گرفت و سپس، گرداب‌های جريان در پشت رotor و اثرات آن‌ها در روابط آیروودینامیکی حاکم بر رotor و مشخصه‌های هندسی در مقاطع مختلف پره‌ها مورد مطالعه قرار گرفت (سلیمانی، 1377).

وتر ممکن است در تمام طول پره ثابت باشد و یا این که بتدريج تغيير کند (نسبت مخروطی) و پره ممکن است مستوی یا در امتداد محور طولي تاب داشته باشد یا اصطلاحاً پيچیده باشد. خط مستقيمي است که لبه حمله را به لبه فرار متصل می نماید. اندازه اين خط بسیار مهم است و تمام اندازه های مهم مقطع عمودی را بر حسب درصدی از طول وتر بيان می کنند. مشخصات يك اير فول در شکل 1 نشان داده شده است (بي نام، [Http://club.cycom.co.uk/windturbinedesign.html](http://club.cycom.co.uk/windturbinedesign.html)).



شکل 1: مشخصات يك ايرفول

نحوه کار توربين بادی

به طور کلی وقتی يك مولد انرژی بادی به وسیله نیروی باد به حرکت درمی آید قدرت به وسیله روتور آن به خارج داده می شود. نیروی باد دو نیروی برا و پسا بر توربین ایجاد می نماید، در حقیقت رشتنهای هوا هنگام برخورد با لبه پره توربین بادی که به فرم مخصوصی ساخته شده اند، هنگام خروج در قسمت بالا و در قسمت پایین اندکی تغییر مسیر داده و سپس بهم می پیونددند به نسبت فرم پره توربین، جريان هوایی که از بالای آن می گذرد مسیر طولانی تری را طی کرده در نتیجه رقیق گشته و روی پره تولید مکش می کند و بر عکس آن جريان هوایی که از زیر پره می گذرد مسیر کمتری داشته و در نتیجه غلیظ بوده و به پره فشار وارد می آورد. نیروی برا سبب چرخش پره های توربین می گردد و تولید قدرت می کند و نیروی پسا که عمود بر سطح دایره گردش پره ها است به وسیله پره های نگهدارنده توربین خنثی می شود. در طراحی توربین های سه پره سعی می شود که نیروی رانش کمتر شود. شکل های 2 و 3 (خاندوزی، (1375).

خط متوسط مقطع: مکان هندسی نقاطی که در وسط فاصله منحنی فوقانی و تحتانی قرار دارد. در صورتی که خط متوسط ایرفول به صورت يك خط صاف درآید، ایرفول را متقارن و در غیر این صورت به آن ایرفول نامتقارن گویند.

زاویه حمله: زاویه حاده ایست که بین امتداد وتر و باد نسبی به وجود می آید.

نسبت مخروطی: نسبت طول وتر در نوک به طول وتر در ریشه پره را نسبت مخروطی (I) گویند و این مقدار بین ($1 \leq I \leq 0$) متغیر است. هرچه نسبت مخروطی کاهش یابد وزن پره کاهش می یابد، لذا مسائل سازه ای کمتری مورد توجه است.

ضخامت ماکزیمم: حداقل فاصله عمودی بین انحنای بالایی و تحتانی پروفیل را ضخامت ماکزیمم گویند. ضخامت ماکزیمم بسته به طرح ایرفول معمولاً برای پره های توربین بادی در فاصله 20% الی 30% از طول وتر می باشد و سبب پایداری و محکمی پره می شود.

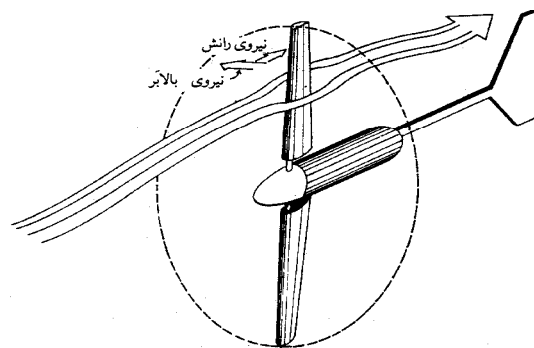
قوس: بیشترین قوسی که خط وتر با خط متوسط مقطع می سازد، قوس نامیده می شود (صدرایی، (1376).

به مجموعه پره ها و توپی وسط آنها روتور گفته می شود. يك توربین بادی محور افقی به طور خلاصه مشکل از تعدادی پره می باشد که به طور شعاعی در اطراف يك محور که موازی با سمت باد قرار می گیرد، نصب شده اند و بدین ترتیب روتوری را تشکیل می دهند که عمود بر جهت باد دوران می کند (خاندوزی، (1375). معمولاً روتور توسط يك برج در ارتفاع مناسبی نسبت به زمین قرار می گیرد و البته پیش بینی های لازم برای هم جهت شدن امتداد محور با جهات مختلف باد و هم چنین برای کنترل سرعت آن انجام می شود و قدرت يك جذب شده توسط این روتور مستقيماً و یا توسط يك سیستم مکانیکی به ماشینی که قرار است رانده شود منتقل می گردد. پره ها ممکن است مشکل از قابی باشد که توسط يك پوسته نازک و مناسب پوشانده شده باشد. تعداد پره ها ممکن است بین 2 تا 12 متغیر باشد (بي نام، [Http://www.windstuffnow.com/main/wind.html](http://www.windstuffnow.com/main/wind.html)). طول

بررسی اثر زاویه حمله و نسبت مخروطی پره بر توان تولیدی در توربین‌های بادی ...



شکل 4: اجزاء مختلف مدل ساخته شده



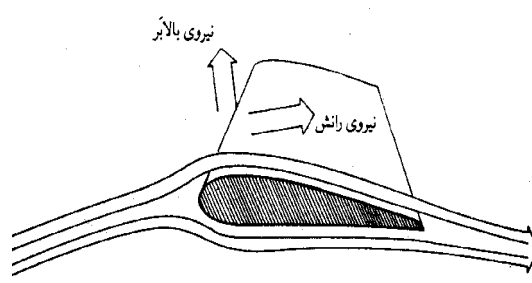
شکل 2: نحوه تولید نیروی برا و پسا



شکل 5: بادسنج پروانه‌ای دیجیتالی پره

در این طرح 3 مدل از پره‌های توربین بادی سه‌پره (مدل اول با نسبت مخروطی 0% از طول وتر، مدل دوم با نسبت مخروطی 50% از طول وتر و مدل سوم با نسبت مخروطی 100% از طول وتر)، که شامل 9 عدد پره می‌باشد با توجه به پارامترهای یاد شده ساخته شد. تمامی پره‌ها دارای ضخامت حداقل 20% از طول وتر، حداًکثر قوس 6% از طول وتر، طول وتر $5/5\text{ cm}$ ، طول پره 30 cm و از جنس چوب (چوب روسی) می‌باشند. دلایل انتخاب این اعداد به خاطر راحتی ساخت پره‌ها است، اگر از اعداد کوچک‌تری استفاده می‌شد خطای ساخت در پره‌ها افزایش می‌یافتد و نتیجه مطلوبی حاصل نمی‌شد. در ساخت پره‌ها می‌توان از سطوح بیشتری استفاده کرد اما به دلیل افزایش تعداد سطوح مراحل انجام آزمایش پیچیده‌تر می‌شد و بررسی اثر متقابل پارامترها به سادگی امکان‌پذیر نبود. مشخصات پره‌ها با توجه به خصوصیات ساخت آن‌ها عبارتند از:

- پره با ویژگی‌های نسبت مخروطی در سه سطح (صفراً، 50% و 100% از طول وتر) که در شکل‌های 6، 7 و 8 نشان داده شده است.



شکل 3: نیروهایی که روی پره توربین بادی اثر می‌کنند

اهدافی که در این پژوهش نهفته است عبارتند از:

- تعیین بهترین سطح زاویه حمله پره

- تعیین بهترین سطح نسبت مخروطی پره که با تعیین جایگاه موثر این سطوح، می‌توان به بهبود توان تولیدی در توربین‌های بادی کمپره با مستوی¹ رسید.

مواد و روش‌ها

ساخت مدل

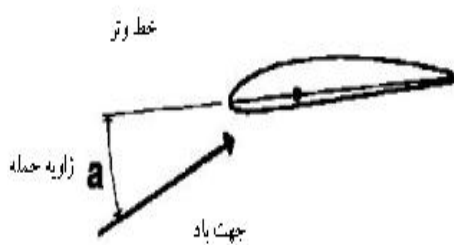
نمونه توربین بادی ساخته شده در شکل 4 نشان داده شده است. این نمونه پره، ژنراتور الکتریکی، توپی، محور یا روتور، تسمه لاستیکی، بلبرینگ، شاسی یا برج، مدار الکتریکی، سیستم افزایش دور می‌باشد.

بادسنج²

در این تحقیق بادسنج پروانه‌ای دیجیتالی مدل (Lutron AM-4200) ساخت کشور تایوان با محدوده اندازه‌گیری 0/8 تا 30 متر بر ثانیه مطابق شکل 5 مورد استفاده قرار گرفت.

1. Plane-form

2. Anemometer



شکل 10: زاویه حمله پره

ژنراتور الکتریکی

در این پژوهش از یک ژنراتور (دینام) دوچرخه (کوهستان)، 6 ولت مطابق شکل 11 استفاده شد.



شکل 11: ژنراتور (دینام) 6 ولتی استفاده شده در مدل توربین بادی

سیستم افزایش دور ژنراتور

در این سیستم از دو پولی به ترتیب با قطرهای 1 و 15 cm که اولی به سر ژنراتور و دومی به انتهای محور روتور متصل شده است که بدین ترتیب دور ژنراتور 15 مرتبه افزایش می‌یابد. با توجه به این که راندمان ژنراتور کمی پایین بود به ناچار می‌بایست دور افزایش می‌یافت تا در مدار الکتریکی لامپ 3 ولتی به اندازه کافی روشنایی پیدا می‌کرد. با ساخت پولی‌های مختلف با قطرهای متفاوت، قطر 15 cm برای کار انتخاب شد که در شکل‌های 4 و 11 نشان داده شده است.

توبی

توبی در این پژوهش برای مدل 3 پره ساخته شد. روتور به داخل مرکز توبی از طریق پیچ‌های جانبی آلن متصل شد. بر روی توبی محلهایی برای قراردادن پره وجود دارد که با زاویه 120 درجه تعییه شده است و توبی ساخته شده از جنس آلومینیم می‌باشد. با توجه به این که آلومینیم فلزی سبک است مناسب کار بود. در ابتدا توبی از جنس چوب روسی ساخته شد اما به دلیل



شکل 6: پره با نسبت مخروطی 0% از طول وتر



شکل 7: پره با نسبت مخروطی 50% از طول وتر



شکل 8: پره با نسبت مخروطی 100% از طول وتر



شکل 9: تمامی پره‌ها با 3 نسبت مخروطی

بررسی اثر زاویه حمله و نسبت مخروطی پره بر توان تولیدی در توربین‌های بادی ...

با نصب شبکه یکنواخت کننده جریان باد، سرعت باد به طور تقریباً یکسان در فواصل مشخصی از شبکه یکسان شد. جهت تعیین سرعت باد، مدل در سه وضعیت مختلف در مقابل مکانیزم سرعت باد قرار داده شد که عبارتند از:

- در فاصله 35 cm از شبکه سرعت 12 m/s
- در فاصله 68 cm از شبکه سرعت 10 m/s
- در فاصله 93 cm از شبکه سرعت 8 m/s

روش کار

برای اندازه‌گیری سرعت باد از وسیله‌ای به نام بادسنج استفاده شد. حس‌گر موجود در دسته بادسنج، به منظور اندازه‌گیری سرعت باد مورد استفاده قرار گرفت.

متغیرهای مستقل این آزمایش در جدول 1 عبارتند از:

جدول 1: متغیرهای مستقل آزمایش

| سطح | | | | | ٪ | ٪ |
|-----|----|-----|-----|-----|-----|-----|
| 5 | 4 | 3 | 2 | 1 | ن-م | ز-پ |
| - | - | %50 | %40 | %30 | 1 | 2 |
| 25 | 20 | 15 | 10 | 5 | ز-پ | 3 |
| - | - | 12 | 10 | 8 | س-ب | |

ن-م = نسبت مخروطی، درصدی از طول وتر.

ز-پ = زاویه پره (درجه)

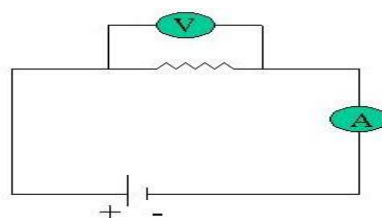
س-ب = سرعت باد (متر بر ثانیه)

برای اندازه‌گیری توان خروجی مدل‌ها در سرعت‌های مختلف باد، ابتدا توسط ژنراتور مذکور نیروی مکانیکی 3 مدل به انرژی الکتریکی تبدیل گردید و سپس توسط یک مدار الکتریکی میزان انرژی دریافتی در واحد زمان (که همان توان می‌باشد) اندازه‌گیری شد. با چرخش روتور جریانی مستقیم از دو سیم خروجی دینام گرفته شد. از دو سر مولد الکتریسیته، ولتاژ به سادگی به دست آمد. اما ولتاژ به تنها یک کارساز نیست و برای اندازه‌گیری توان بایستی جریان یا آمپر نیز اندازه‌گیری شود و با حاصل ضرب جریان در ولتاژ، توان به دست آمده و جریان در صورتی به دست می‌آمد که مصرف‌کننده‌ای در مدار وجود داشته باشد. لذا از یک

باز و بسته کردن پره‌ها روی آن، پره شل می‌شد و کیفیت کار پایین می‌آمد (شکل 1).

مدار الکتریکی

جهت بدست آوردن میزان توان تولیدی از مدار ساده‌ای که در شکل 12 نشان داده شده است استفاده شده است. در این مدار از یک لامپ 3 ولتی به عنوان مقاومت استفاده شده و محل قرار گرفتن آمپر متر و ولت متر که بترتیب در مدار بصورت سری و موازی قرار می‌گیرند تعیین شده است.



شکل 12: مدار الکتریکی مورد استفاده در مدل

مکانیزم تولید باد

در این پژوهش برای نیل به 3 سرعت باد مورد آزمایش، سیستم تولید باد، طراحی و ساخته شد. با توجه به این‌که هدف از این پژوهش ساخت سیستم مکانیزم تولید باد نبود و هم‌چنین کمیاب امکانات آزمایشگاهی، استفاده از تونل باد امکان‌پذیر نبود لذا طراحی سیستم مکانیزم تولید باد با سعی و خطأ انجام شد. این سیستم شامل قسمت‌های زیر می‌باشد (شکل 13):

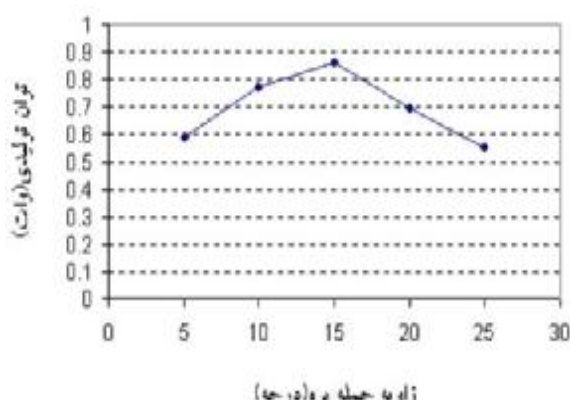
الکتروموتور با مشخصات 1 اسب بخار، 220 ولت و تک‌فاز، فن دمنده با قطر 75 cm ، شبکه یکنواخت کننده جریان باد و شاسی نگهدارنده سیستم فن و شبکه.



شکل 13: مکانیزم تولید باد

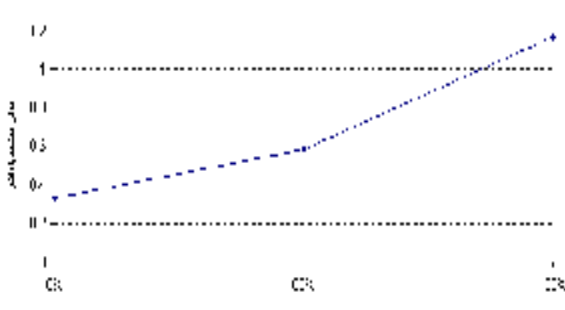
جدول 2: تجزیه واریانس

| X | Source of Variation | Sum of Squares | Mean Square | F Value | P% |
|-------|---------------------|----------------|-------------|----------|--------|
| 1 | Replicates | 0.048 | 0.012 | 32.981 | 0.0000 |
| 2 | Factor A | 5.271 | 1.32 | 30.23295 | 0.0000 |
| 3 | Error | 0.003 | 0.001 | | |
| 4 | Factor B | 4.224 | 1.06 | 26.934 | 0.0000 |
| 5 | AB | 0.184 | 0.046 | 10.867 | 0.0000 |
| 6 | Factor C | 7.135 | 1.83 | 12.178 | 0.0000 |
| 7 | AC | 1.403 | 0.351 | 22.269 | 0.0000 |
| 8 | BC | 1.125 | 0.281 | 6.4768 | 0.0000 |
| 9 | ABC | 0.023 | 0.006 | 0.337 | 0.0000 |
| 10 | Factor D | 3.052 | 0.763 | 22.02241 | 0.0000 |
| 11 | AD | 1.161 | 0.290 | 10.076 | 0.0000 |
| 12 | BD | 0.480 | 0.120 | 10.900 | 0.0000 |
| 13 | ACD | 0.023 | 0.006 | 3.838 | 0.0000 |
| 14 | BCD | 11.450 | 2.86 | 32.523 | 0.0000 |
| 15 | ABCD | 0.023 | 0.006 | 25.531 | 0.0000 |
| 16 | CC | 0.122 | 0.031 | 42.132 | 0.0000 |
| 17 | DD | 0.122 | 0.031 | 11.75 | 0.0000 |
| 18 | Error | 0.001 | 0.001 | | |
| Total | | 34 | 0.850 | | |



شکل 14: اثر زاویه حمله پره بر توان خروجی

تأثیر نسبت مخروطی پره بر توان خروجی با مشاهده نتایج حاصل از آزمون دانکن و شکل 15 در سطح 5٪ تعیین شد که در نسبت مخروطی سطح 100٪، مدل بیشترین توان خروجی را داشته است.



شکل 15: اثر نسبت مخروطی پره بر توان خروجی

لامپ 3 ولتی به عنوان مصرف‌کننده استفاده شد. ولتاژ و شدت جریان از روی ولت‌متر و آمپر‌متر در سرعتهای مختلف باد اندازه گیری شد.

روش آماری

بر اساس اطلاعات به دست آمده، طرح آماری به کار رفته، یک آزمایش فاکتوریل در قالب طرح کاملاً تصادفی در سه تکرار با استفاده از آزمون دانکن¹ است. نتایج میانگین توانها با استفاده از آزمون دانکن در سطح 5٪ با هم مقایسه و مورد تجزیه و تحلیل قرار گرفت.

در این آزمایش، سه مدل توربین‌های بادی سه پره، در مکانیزم سیستم تولید باد قرار داده شد. این آزمایش در سه تکرار اجرا و مقادیر ولتاژ و شدت جریان، اندازه گیری شد. با حاصل ضرب ولتاژ در شدت جریان، مقدار توان تولیدی تا چهار رقم اعشار محاسبه گردید.

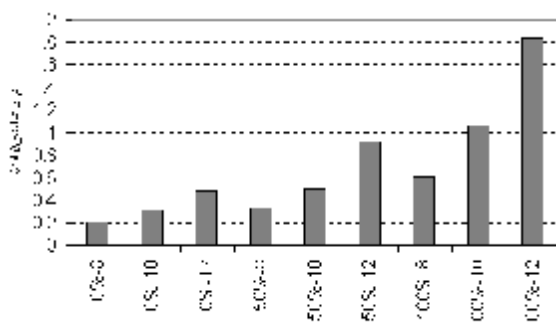
نتایج و بحث

تمامی داده‌های برداشت شده از این آزمایش از طریق آزمون دانکن با استفاده از نرمافزارهای Excel و Mstat-C مورد تجزیه و تحلیل آماری قرار گرفت. و روشن شد که اختلاف موجود در بین توانهای بدست آمده از آزمایش در سرعتهای مختلف باد، زوایا، نسبت مخروطی پره معنی‌دار است با استفاده از جدول 2 تجزیه واریانس معنی‌دار است.

همان‌طور که از جدول تجزیه واریانس مشاهده می‌شود مقدار F محاسبه شده در جدول 2 به مرتب از مقدار F جدول مرجع بالاتر است و نشان دهنده این است که تیمارها با هم اختلاف معنی‌دارند.

اثر متغیرها برای میزان توان تولیدی تأثیر زاویه حمله پره بر توان خروجی با مشاهده نتایج حاصل از آزمون دانکن و شکل 14 در سطح 5٪ تعیین شد که زاویه حمله 15 درجه بیشترین توان خروجی را داشته است.

بررسی اثر زاویه حمله و نسبت مخروطی پره بر توان تولیدی در توربین‌های بادی ...



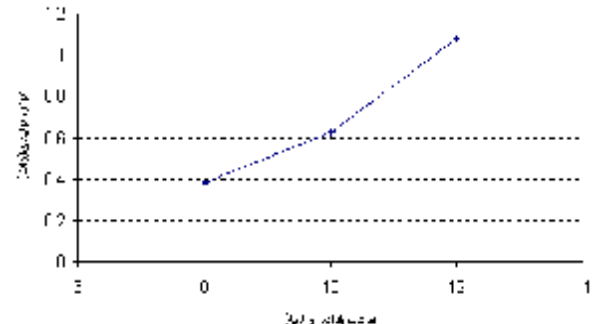
شکل 18: اثر متقابل نسبت مخروطی پره و سرعت باد بر توان خروجی

با استفاده از نتایج آزمون دان肯، تعیین شد که در مدل توربین بادی سه پره، از بین پنج سطح زاویه حمله پره، زاویه 15 درجه با میانگین توان 0/8612 وات و از بین سه سطح نسبت مخروطی، سطح 100% با میانگین توان 1/17 وات و از بین سه سطح سرعت باد، سطح 12 m/s با میانگین توان 1/078 وات بیشترین توان تولیدی را داشته است. همچنین تعیین شد که اثر متقابل بین متغیرها (زاویه حمله پره، نسبت مخروطی پره و سرعت باد) معنی‌دار بوده و در مدل سه پره، مدلی که زاویه حمله آن 15 درجه، نسبت مخروطی 100% و سرعت باد 12 m/s است، با توانی برابر 2/304 وات به عنوان بهترین مدل برای تولید توان بیشتر از بین سطوح انتخابی ارائه گردید (جدول 3).

با مشاهده داده‌های بهدست آمده از جدول 3 مشخص است که میانگین توان‌های ردیف 27 بیشترین مقدار توانی را به خود اختصاص داده است. به عبارت دیگر ردیف 27 ردیفی است که در آن زاویه حمله 15 درجه، نسبت مخروطی پره در سطح 100% از طول وتر و سرعت باد 12 m/s است. در ارتباط با تاثیر زاویه حمله پره بر توان خروجی، بهترین زاویه حمله 15 درجه می‌باشد و اگر سطوح بیشتری (بیش از پنج سطح) در آزمایش مورد بررسی قرار می‌گرفت تاثیری نداشت و همچنان زاویه 15 درجه به عنوان بهترین زاویه در افزایش توان تولیدی تاثیرگذار بود. این عمل می‌تواند به نیروهای آیرودینامیکی برا و پسای پره مربوط باشد. با توجه به این که زاویه حمله پره، زاویه‌ای است که خط

تأثیر سرعت باد بر توان خروجی

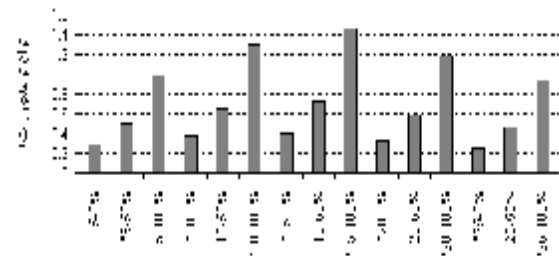
با مشاهده نتایج حاصل از آزمون دان肯 در شکل 16 در سطح 5%， معلوم شد که سرعت باد 12 m/s بیشترین توان خروجی را تولید کرده است.



شکل 16: تاثیر سرعت باد بر توان خروجی

اثر متقابل زاویه حمله پره و نسبت مخروطی بر توان خروجی

با مشاهده نتایج حاصل از آزمون دان肯 در شکل 17 معلوم شد که مدل در زاویه حمله 15 درجه و نسبت مخروطی پره در سطح 100% بیشترین توان خروجی را داشته است.



شکل 17: اثر متقابل زاویه حمله پره و نسبت مخروطی بر توان خروجی

اثر متقابل نسبت مخروطی و سرعت باد بر توان خروجی

با مشاهده نتایج حاصل از آزمون دان肯 در شکل 18 معلوم شد که مدل در نسبت مخروطی 100% و سرعت باد 12 m/s بیشترین توان خروجی را داشته است.

**جدول 3: مقایسه میانگین توانهای حاصل از آزمون
دانکن**

| Data File :Turbine | |
|---|---------------------|
| Title : power | |
| Case Range : 611 - 655 | |
| Error Mean Square = 0/001000 | |
| Error Degrees of Freedom = 260 | |
| No. of observations to calculate a mean = 9 | |
| Duncan's Multiple Range Test | |
| LSD value = 0/02935 | |
| $s_{\text{--}} = 0/01054$ at alpha = 0.050 | |
| x | |
| Ranked Order | |
| Original Order | |
| Mean 27 = 2/304 A | Mean 1 = 0/1843 Z |
| Mean 18 = 2/041 B | Mean 2 = 0/2654 ZZ |
| Mean 36 = 1/863 C | Mean 3 = 0/4117 U |
| Mean 9 = 1/550 D | Mean 4 = 0/2877 YZ |
| Mean 45 = 1/461 E | Mean 5 = 0/4234 U |
| Mean 26 = 1/321 F | Mean 6 = 0/7851 M |
| Mean 17 = 1/175 G | Mean 7 = 0/5009 S |
| Mean 24 = 1/126 H | Mean 8 = 0/8870 L |
| Mean 35 = 1/071 I | Mean 9 = 1/550 D |
| Mean 15 = 1/019 J | Mean 10 = 0/2417 ZY |
| Mean 33 = 0/9213 K | Mean 11 = 0/3420 WX |
| Mean 8 = 0/8870 L | Mean 12 = 0/5408 R |
| Mean 44 = 0/8618 L | Mean 13 = 0/3731 V |
| Mean 6 = 0/7851 M | Mean 14 = 0/5536 QR |
| Mean 25 = 0/7482 N | Mean 15 = 1/019 J |
| Mean 42 = 0/7224 N | Mean 16 = 0/6604 O |
| Mean 16 = 0/6604 O | Mean 17 = 1/175 G |
| Mean 23 = 0/6226 P | Mean 18 = 2/041 B |
| Mean 34 = 0/6114 P | Mean 19 = 0/2612 ZZ |
| Mean 21 = 0/5820 Q | Mean 20 = 0/3740 V |
| Mean 14 = 0/5536 QR | Mean 21 = 0/5820 Q |
| Mean 12 = 0/5408 R | Mean 22 = 0/4123 U |
| Mean 32 = 0/5047 S | Mean 23 = 0/6226 P |
| Mean 7 = 0/5009 S | Mean 24 = 1/126 H |
| Mean 43 = 0/4930 ST | Mean 25 = 0/7482 N |
| Mean 30 = 0/4688 T | Mean 26 = 1/321 F |
| Mean 5 = 0/4234 U | Mean 27 = 2/304 A |
| Mean 22 = 0/4123 U | Mean 28 = 0/2108 YZ |
| Mean 3 = 0/4117 U | Mean 29 = 0/3011 Y |
| Mean 41 = 0/4004 UV | Mean 30 = 0/4688 T |
| Mean 20 = 0/3740 V | Mean 31 = 0/3331 X |
| Mean 13 = 0/3731 V | Mean 32 = 0/5047 S |
| Mean 39 = 0/3691 VW | Mean 33 = 0/9213 K |
| Mean 11 = 0/3420 WX | Mean 34 = 0/6114 P |
| Mean 31 = 0/3331 X | Mean 35 = 1/071 I |
| Mean 29 = 0/3011 Y | Mean 36 = 1/863 C |
| Mean 4 = 0/2877 YZ | Mean 37 = 0/1671 ^ |
| Mean 2 = 0/2654 ZZ | Mean 38 = 0/2400 ZY |
| Mean 19 = 0/2612 ZZ | Mean 39 = 0/3691 VW |
| Mean 40 = 0/2597 ZZ | Mean 40 = 0/2597 ZZ |
| Mean 10 = 0/2417 ZY | Mean 41 = 0/4004 UV |
| Mean 38 = 0/2400 ZY | Mean 42 = 0/7224 N |
| Mean 28 = 0/2108 YZ | Mean 43 = 0/4930 ST |
| Mean 1 = 0/1843 Z | Mean 44 = 0/8618 L |
| Mean 37 = 0/1671 Z | Mean 45 = 1/461 E |

و تر پره با جهت باد می‌سازد، لذا نیروی آبودینامیکی در یک زاویه مشخص می‌تواند بیشترین نیروی برا را تولید نماید و این عمل در زاویه 15 درجه رخ داد. همچنان اثر نسبت مخروطی پره بر توان تولیدی نشان داد که نسبت مخروطی پره در سطح 100% بیشترین توان تولیدی را از خود نشان داده است و این مسئله بیانگر این است که با افزایش نسبت مخروطی پره از صفر% به 100% افزایش توان تولیدی را دارا بوده است و هیچ‌گاه نسبت-های مخروطی زیر 100% مطلوب نبوده است. این امر می‌تواند مستلزم این باشد که هرچه نسبت مخروطی کمتر باشد پره دارای وزن کمتری است و نمی‌تواند نیروی باد را به خوبی دریافت کند. با توجه به کم شدن صلبیت پره‌ها نیروی بالابری کمتری تولید می‌گردد، لذا در سرعت‌های مختلف باد دوران کمتری خواهد داشت. همچنان تعیین شد که هرچه سرعت باد بیشتر باشد توربین، توان تولیدی بیشتری را خواهد داشت و البته این امر از قبل نیز تعیین بود (سلیمانی، 1377). پارامتر پارامتری بود که می‌بایست به عنوان متغیر مستقل در آزمایش دخالت داده شود.

منابع

- برنگی، م. و مانی، م. 1375. بررسی فنی و طراحی مقدماتی یک نیروگاه بادی برای مناطق مختلف ایران. پایان‌نامه کارشناسی ارشد. دانشکده مهندسی مکانیک دانشگاه صنعتی امیرکبیر.
- بصیری، ع. 1373. طرح‌های آماری در علوم کشاورزی. انتشارات دانشگاه شیراز.
- ثقفی، م. 1371. انرژی باد و کاربرد آن در کشاورزی. انتشارات دانشگاه تهران.
- جعفری، ع. و زارعیان، س. 1377. طراحی، ساخت و آزمایش توربین‌های بادی مولد الکتریسیته. پایان‌نامه کارشناسی ارشد دانشگاه شیراز.
- خاندوزی، س. و گنجعلیخانی نسب، ا. 1375. انرژی باد و توربین‌های بادی. پایان‌نامه کارشناسی دانشگاه آزاد اسلامی کرمان.
- سلیمانی، غ. و ریاحی، م. 1377. محاسبه، طراحی و تست توربین‌های بادی 10 kW . پایان‌نامه کارشناسی ارشد. دانشکده مهندسی مکانیک دانشگاه علم و صنعت ایران.
- شمس‌آبادی، ح. و مینایی، س. 1373. بررسی و طراحی توربین‌بادی بهینه برای پمپاژ آب در مناطق بادخیز ایران. پایان‌نامه کارشناسی ارشد دانشکده کشاورزی دانشگاه تربیت مدرس.
- صدرایی، م. 1376. طراحی هواپیما. انتشارات دانشگاه امام حسین(ع).

Basic blade design. Available on, [Http://www.windstuffnow.com/main/wind.html](http://www.windstuffnow.com/main/wind.html).

Walker, J. and Nicholas, F. 1998. Wind energy technology. John Wiley & Sons. Inc. Wind turbine design tool. Available on, [Http://club.cycom.co.uk/windturbinedesign.html](http://club.cycom.co.uk/windturbinedesign.html).

Review of Angles of Attack Blade and Camber Maximum Location in Horizontal Axis Wind Turbines With Plane-Form Blades

Ezzatollahi¹, K., Almasi², M., Borghei³, A. M. and Minaee⁴, S.

Abstract

Since Iran is a windy country due to the adjacency to the sea and the existence of Alborz and Zagros plateau, it is expected that the use of wind energy will be developed in near future. The present study aimed at finding the best blade Angle and the best location maximum camber from the chord from among selective levels. Determining the above levels can lead to an increase in few-bladed wind turbines. At first, 3 models of 3-bladed wind turbines, each with %20 thickness from chord and camber was made in %6. These models were put in wind production mechanism. All data from experiment were statistically analyzed by *Mstat-C* software & *Excel* software and *Duncan* test. The results showed a significant difference between power from the experiment in different wind speeds and location maximum camber. From Duncan test, it was found out that in 3-bladed wind turbines among five levels of angle of attack, angle 15° with an average power of 0.8612 watt, and among 3 levels of maximum camber level of %30 with an average power of **0.8139** watt and among three levels of wind speed, level of 12m/s with an average power 1.078 watt produced the largest among of power from among selective levels. Also it was found out that interaction between variables (angle of attack, location maximum camber and speed) was significant and the model with an angle of attack of 15°, location maximum camber of %30 and wind speed of 12m/s was presented with power of **1.537** watt as the best model for the largest amount of power.

Keywords: Wind turbine, Angle of attack, Location maximum camber, Wind speed, Power and Plane-form

1. Assistant Professor of Islamic Azad University, Kerman Branch

2. Professor of Ahvaz university

3. Professor of Tehran University

4. Assistant Professor of Tarbiat-Modarres University